

# 高危人乳头状瘤病毒感染宫颈癌患者miR-34a-5p 表达及意义

陈娟<sup>1</sup>,尤汴红<sup>2</sup>

(1.新乡市中心医院,河南 新乡 453000;2.辉县市人民医院,河南 辉县 453000)

**摘要:**[目的]探讨高危人乳头状瘤病毒(human papillomavirus,HPV)感染宫颈癌患者组织及血清miR-34a-5p的表达以及血清miR-34a-5p对宫颈癌的诊断价值。**[方法]**采用RT-PCR检测70例HR-HPV阳性宫颈癌组织和癌旁组织、100例HR-HPV阳性宫颈癌患者血清、80例HR-HPV阳性宫颈上皮内瘤病(CIN)患者血清、80例健康体检者血清中miR-34a-5p的表达水平。Pearson法分析组织和血清中miR-34a-5p表达量的相关性,分析miR-34a-5p与宫颈癌临床病理特征的关系,分析血清miR-34a-5p诊断宫颈癌的价值。**[结果]**宫颈癌组织miR-34a-5p相对表达量明显低于癌旁组织( $P<0.05$ )。宫颈癌患者血清miR-34a-5p相对表达量明显低于CIN患者和正常人( $P<0.05$ ),CIN患者血清miR-34a-5p相对表达量明显低于正常人( $P<0.05$ )。癌组织miR-34a-5p相对表达量与淋巴结转移有关( $P<0.05$ )。血清miR-34a-5p相对表达量与淋巴结转移和远处转移有关( $P<0.05$ )。miR-34a-5p在癌组织与血清中的相对表达量呈正相关( $r=0.459,P<0.05$ )。血清miR-34a-5p诊断宫颈癌的ROC曲线下面积为0.860(95%CI:0.803~0.917)。**[结论]**HR-HPV宫颈癌患者血清miR-34a-5p下调,与癌组织miR-34a-5p表达呈正相关,有望成为宫颈癌诊断的分子标志物。

**主题词:**宫颈癌;乳头状瘤病毒;miR-34a-5p;血清

中图分类号:R737.33 文献标识码:A 文章编号:1671-170X(2020)11-0977-04

doi:10.11735/j.issn.1671-170X.2020.11.B010

## Expression of MicroRNA-34a-5p in Cervical Cancer Patients with High Risk of Human Papillomavirus Infection and Its Clinical Significance

CHEN Juan<sup>1</sup>, YOU Bian-hong<sup>2</sup>

(1. Xinxiang Central Hospital, Xinxiang 453000, China;

2. People's Hospital of Huixian City, Huixian 453000, China)

**Abstract:** [Objective] To investigate the expression of miR-34a-5p in tissues and serum of cervical cancer patients with high risk human papillomavirus(HR-HPV) infection and its clinical significance. [Methods] The expression of miR-34a-5p in cervical cancer tissues and adjacent tissues of 70 HR-HPV-positive patients was detected by RT-PCR. The expression of miR-34a-5p in serum samples of 100 HR-HPV-positive cervical cancer patients, 80 HR-HPV positive cervical intraepithelial neoplasia (CIN) patients and 80 healthy subjects was also detected. Pearson correlation was used to analyze the correlation between the expression of miR-34a-5p in tissue and serum, and the relationship between miR-34a-5p and the clinicopathological characteristics of cervical cancer was also analyzed. [Results] The relative expression of miR-34a-5p in cervical cancer tissues was significantly lower than that in adjacent tissues ( $P<0.05$ ). The relative expression of miR-34a-5p in serum samples of cervical cancer patients was significantly lower than that of CIN patients and normal subjects ( $P<0.05$ ). The relative expression of serum miR-34a-5p in CIN patients was significantly lower than that in normal subjects ( $P<0.05$ ). The relative expression of tissue miR-34a-5p was correlated with lymph node metastasis( $P<0.05$ ). The relative expression of serum miR-34a-5p was correlated with lymph node metastasis and distant metastasis ( $P<0.05$ ). The relative expression of miR-34a-5p in cancer tissue and serum was positively correlated with each other ( $r=0.459,P<0.05$ ). The area under ROC curve of serum miR-34a-5p was 0.860 (95% CI:0.803 ~ 0.917). [Conclusion] The down-regulation of serum miR-34a-5p in HR-HPV positive cervical cancer patients is positively correlated with the expression of miR-34a-5p in cancer tissues, which is expected to be a molecular marker for diagnosis of cervical cancer.

**Subject words:**cervical cancer;papilloma virus;miR-34a-5p;serum

中国宫颈癌发病率呈上升和年轻化趋势<sup>[1]</sup>。

**通信作者:**陈娟,科室副主任,副主任医师,本科;河南省新乡市中心医院产一科,河南省新乡市卫滨区金穗大道56号(453000);E-mail:13137309755@163.com

收稿日期:2020-03-17;修回日期:2020-03-27

miR-34a-5p是一种较为公认具有抑癌基因作用的微小RNA(microRNA,miRNA),已有研究报道在肝癌、慢性髓性白血病、卵巢癌、膀胱癌中较正常组织出现低表达,进而引起转化生长因子-β/人母亲DPP同源

物4、细胞程序性死亡-配体1等靶基因的高表达，在肿瘤细胞的发生中产生重要作用<sup>[2-4]</sup>。研究显示，不同疾病患者循环血中miRNA表达存在差异，这种差异具有组织特异性<sup>[5]</sup>。目前关于宫颈癌患者血清miR-34a-5p表达变化及诊断价值较少报道。高危人乳头状瘤病毒(human papillomavirus, HR-HPV)感染是宫颈癌高危因素，对宫颈癌的发生有重要作用<sup>[6]</sup>。本研究采用逆转录-聚合酶链反应(reverse transcription-polymerase chain reaction, RT-PCR)实验检测HR-HPV感染的宫颈癌患者组织及血清miR-34a-5p水平，并分析miR-34a-5p水平与宫颈癌临床病理特征关系及其在早期诊断宫颈癌中的价值。

## 1 资料与方法

### 1.1 一般资料

选择2016年1月至2019年1月期间住院的100例HR-HPV阳性宫颈癌患者血清标本作为实验组研究对象，患者均病理确诊，年龄33~67岁，平均年龄(46.8±11.3)岁。全部患者均为首次治疗；无其他良恶性肿瘤及风湿免疫相关病史；病史资料均完整。其中70例行宫颈癌手术治疗，术中均获得癌组织及对应的癌旁组织。选择相同时段内80例HR-HPV阳性宫颈上皮内瘤病变(cervical intraepithelial neoplasia, CIN)患者作为CIN组，年龄32~70岁，平均年龄(45.2±10.9)岁；CINⅠ7例、CINⅡ32例、CINⅢ31例。选取80例HR-HPV阳性健康体检者作为对照组，年龄31~68岁，平均年龄(46.5±12.3)岁。三组间年龄比较无统计学差异( $P>0.05$ )。本研究已经过医院伦理委员会批准，受试者均签署知情书。

### 1.2 实验方法

#### 1.2.1 宫颈癌组织及血清样本收集

(1)宫颈癌与癌旁组织的收集：收集70例宫颈癌患者术中切除的新鲜宫颈癌及癌旁正常组织。获得组织立即放入液氮转存，-80℃冰箱保存备用。(2)血清样本的收集：采用无RNA酶管收集100例宫颈癌患者、80例CIN患者、80例正常人血液标本各5ml，予以离心静置样本完全凝固。吸取1.5ml上清液于RNA酶管内-80℃存放待用。全部标本在2个月内完成实验测定。

#### 1.2.2 高危型HPV检测

取手术切除的宫颈癌病灶，采用天津精耐特基

因生物技术有限公司生产的基因组DNA提取试剂盒抽提基因组DNA后，通过达安PCR反向点杂交法进行测定，包括HPV-16、HPV-18、HPV-33、HPV-35和HPV-51；显色蓝紫色圆点者为高危型HPV感染阳性<sup>[7]</sup>。

#### 1.2.3 RT-qPCR测定组织、血清miR-34a-5p水平

引物由南京金斯瑞公司采用primer5软件设计及合成。miR-34a-5p的引物序列为5'-UGAGAU-GAAGCACUGUAGCUC-3'，U6引物序列为5'-UU-CUCCGAACGUGU-CACGUUTT-3'。Trizol法提取总RNA，反转录为cDNA，采用RT-qPCR两步法测定miR-34a-5p表达水平。组织miR-34a-5p测定体系为：Template(反转录产物)3μl、Primer A(10μM)1.5μl、Primer B(10μM)1.5μl、PCR H<sub>2</sub>O 9μl、2X Sybgreen PCR Master Mix15μl。条件为：95℃, 10min；95℃, 10s；59℃, 50s；共40个循环。血清miR-34a-5p测定体系为：Template(反转录产物)2μl、Primer A(10μM)0.5μl、Primer B(10μM)0.5μl、PCR H<sub>2</sub>O 12μl、2X Sybgreen PCR Master Mix15μl。条件为：95℃, 10min；95℃, 15s；60℃, 60s；共40个循环。用 $2^{-\Delta\Delta Ct}$ 反映基因的相对表达量， $\Delta Ct=目的基因 Ct - 内参 Ct$ 值。

### 1.3 统计学处理

采用SPSS21.0统计软件进行数据分析，计量资料采取t检验或方差分析；计数资料选择 $\chi^2$ 检验或Fisher确切概率法；相关性用Pearson相关性分析；采用受试者操作特征(receiver operating characteristic, ROC)曲线分析miR-34a-5p对宫颈癌的诊断价值，计算曲线下面积(area under curve, AUC)。 $P<0.05$ 为差异有统计学意义。

## 2 结 果

### 2.1 MicroRNA-34a-5p表达水平

宫颈癌组织miR-34a-5p相对表达量明显低于癌旁组织( $P<0.05$ )。宫颈癌患者血清miR-34a-5p相对表达量明显低于CIN患者和正常人( $P<0.05$ )，CIN患者血清miR-34a-5p相对表达量明显低于正常人( $P<0.05$ )（Table 1）。

### 2.2 宫颈癌患者手术前后血清miR-34a-5p变化

宫颈癌患者术前和术后1周时血清miR-34a-5p相对表达量分别为0.365±0.119和0.437±0.152，组间比较有统计学差异( $t=3.730, P<0.05$ )。

**Table 1 Expression of miR-34a-5p in tissue and serum**

Items	miR-34a-5p	t/F	P
Tissue			
Cervical cancer tissue	0.216±0.107	39.709	<0.001
Paracancerous tissue	0.972±0.188		
Serum			
Cervical cancer patients	0.365±0.119		
CIN patients	0.549±0.284	88.946	<0.001
Healthy individuals	0.942±0.271		

### 2.3 组织和血清 miR-34a-5p 表达与临床及病理因素的关系

宫颈癌组织 miR-34a-5p 相对表达量与淋巴结转移有关( $P<0.05$ )，与年龄、绝经、临床分期、病理分级、肿瘤直径均无关( $P>0.05$ )。血清 miR-34a-5p 相对表达量与淋巴结转移和远处转移有关( $P<0.05$ )，与年龄、绝经、临床分期、病理分级、肿瘤径直径无关( $P>0.05$ )(Table 2)。

### 2.4 组织 miR-34a-5p 与血清 miR-34a-5p 的关系

MicroRNA-34a-5p 在癌组织与血清中的相对表达量呈正相关( $r=0.459, P<0.001$ )(Figure 1)。

### 2.5 血清 miR-34a-5p 对宫颈癌的诊断价值

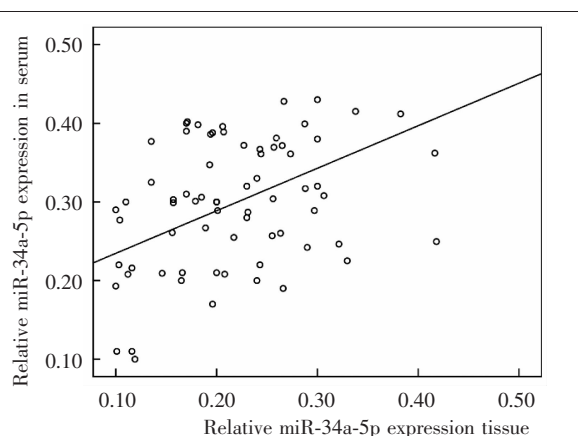
当 miR-34a-5p 取值为 0.508 时约登指数最大(0.630)，此时诊断效能最高，AUC 为 0.860(95%CI: 0.803~0.917)，敏感度为 83.6%，特异性为 79.4%。

## 3 讨 论

微小 RNA 可加速降解和(或)阻断其靶基因的翻

译及诱导转录后基因表达，从而参与调节细胞增殖、分化、代谢和凋亡等各种生物学过程<sup>[8]</sup>。血清 miRNAs 的来源尚不完全清楚，目前认为有三种来源<sup>[9]</sup>：(1)凋亡、坏死细胞破损后 miRNA 从细胞释放进入循环血；(2)miRNA 经外泌体、穿梭泡等微泡进行细胞之间的信号传导及运输作用；(3)miRNA 在组织细胞的分泌过程中经与 RNA 结合蛋白结合后释放出入循环血。相对于 DNA、mRNA 来说，miRNA 在循环血中表达的更为稳定<sup>[9]</sup>。血清 miRNA 在多种肿瘤性疾病中有异常变化，对早期诊断有一定价值<sup>[10]</sup>。

HPV 与宫颈癌的发生密切相关，据报道宫颈癌患者 HPV 感染率达 80%，其中 HPV-16、HPV-18 和 HPV-45 分别占 26%~36%、37%~41%、5%~7%<sup>[11]</sup>。miRNA 会影响 HPV 介导的 DNA 复制，例如 Lu 等<sup>[12]</sup>



**Figure 1 Relationship between tissue and serum miR-34a-5p in patient with cervical cancer**

**Table 2 Relationship between miR-34a-5p expression and clinicopathological parameters of cervical cancer**

Clinicopathological parameters	N	Tissue			Serum			
		miR-34a-5p expression	t/F	P	miR-34a-5p expression	t/F	P	
Age(years old)	<45	0.225±0.109	0.492	0.624	47	0.377±0.138	0.372	0.173
	≥45	0.213±0.095			53	0.342±0.117		
Menopause	Yes	0.220±0.101	0.322	0.749	32	0.371±0.140	0.810	0.420
	No	0.211±0.112			68	0.350±0.111		
Clinical stages	I A~I B	0.227±0.105	0.984	0.329	59	0.372±0.145	0.777	0.440
	II A~II B	0.201±0.116			41	0.343±0.113		
Pathological grade	G1	0.221±0.121	0.144	0.741	14	0.373±0.116	1.003	0.771
	G2	0.220±0.860			36	0.371±0.124		
	G3	0.209±0.103			50	0.358±0.115		
Tumor diameter	≤4cm	0.226±0.118	0.877	0.383	57	0.371±0.141	1.186	0.238
	>4cm	0.203±0.092			43	0.340±0.112		
Lymph node metastasis	N0	0.224±0.104	2.131	0.037	74	0.391±0.132	2.226	0.028
	N1	0.122±0.088			26	0.326±0.116		
Distant metastasis	No	0.216±0.107	-	-	96	0.382±0.128	2.380	0.019
	Yes	0			4	0.227±0.114		

发现 miR-221 可以通过细胞因子信号传导抑制分子 I/I 型干扰素信号通路抑制 HPV16 E1-E2 介导的 DNA 复制。由此可见 miRNA 可能成为宫颈癌的治疗靶点。miR-34a-5p 基因定位于 1p36.23 染色体, 在多种肿瘤中呈异常表达, 包括宫颈癌<sup>[2-4,13-14]</sup>。本研究发现 HR-HPV 阳性宫颈癌患者的癌组织和血清 miR-34a-5p 相对表达量明显较低, 提示 miR-34a-5p 可能发挥癌基因作用。

MicroRNA-34a-5p 影响肿瘤细胞的增殖、侵袭、迁移、分化和细胞周期等, 但是其作用机制目前尚未明确, 可能通过沉默信息调节因子 2 相关酶 1/p66shc 通路<sup>[15]</sup>、Wnt/β-Catenin 通路<sup>[16]</sup>和 Notch 信号通路<sup>[17]</sup>等发挥作用。在宫颈癌的研究中, 有报道显示在宫颈癌 Caski 细胞株中过表达 miR-34a-5p 可经抑制细胞周期基因 CDK4、E2F1 及蛋白的表达, 进而抑制细胞的增殖<sup>[18]</sup>。Wang 等<sup>[19]</sup>发现, miR-34a-5p 可上调 RIG-I 基因水平抑制了宫颈癌细胞周期, 并促进凋亡。本研究发现, 宫颈癌组织 miR-34a-5p 相对表达量与淋巴结转移有关, 与年龄、绝经、临床分期、病理分级、肿瘤径直径均无关。血清 miR-34a-5p 相对表达量与淋巴结转移和远处转移有关, 与年龄、绝经、临床分期、病理分级、肿瘤径直径无关, 说明 miR-34a-5p 与宫颈癌进展有关。

本研究分析了血清 miR-34a-5p 诊断宫颈癌的价值, 当 miR-34a-5p 取值为 0.508 时 ROC 曲线下面积为 0.860, 说明 miR-34a-5p 诊断效能较高。但是本研究未比较 miR-34a-5p 与传统肿瘤标志物的诊断效能, 这是本研究的局限性。

综上, HR-HPV 感染宫颈癌患者血清 miR-34a-5p 出现下调, 与癌组织 miR-34a-5p 水平呈正相关, 有望成为辅助诊断宫颈癌的分子标志物; 血清 miR-34a-5p 水平与宫颈癌患者淋巴结转移及远处转移有关, 有助于肿瘤病情判断与术后病情监测。但目前对于宫颈癌患者血清 miR-34a-5p 表达改变及作用机制尚不清楚, 需要未来深入分析。

## 参考文献:

- [1] Di J, Rutherford S, Chu C. Review of the cervical cancer burden and population-based cervical cancer screening in China[J]. Asian Pac J Cancer Prev, 2015, 16(17): 7401-7407.
- [2] Feili X, Wu S, Ye W, et al. MicroRNA-34a-5p inhibits liver fibrosis by regulating TGF-beta1/Smad3 pathway in hepatic stellate cells[J]. Cell Biol Int, 2018, 42(10): 1370-1376.
- [3] Cao HX, Miao CF, Sang LN, et al. Circ\_0009910 promotes imatinib resistance through ULK1-induced autophagy by sponging miR-34a-5p in chronic myeloid leukemia[J]. Life Sci, 2020, 243: 117255.
- [4] Zuo Y, Zheng W, Liu J, et al. MiR-34a-5p/PD-L1 axis regulates cisplatin chemoresistance of ovarian cancer cells[J]. Neoplasma, 2020, 67(1): 93-101.
- [5] Sun Z, Shi K, Yang S, et al. Effect of exosomal miRNA on cancer biology and clinical applications[J]. Mol Cancer, 2018, 17(1): 147.
- [6] Kong TW, Kim M, Kim YH, et al. High-risk human papillomavirus testing as a primary screening for cervical cancer: position statement by the Korean Society of Obstetrics and Gynecology and the Korean Society of Gynecologic Oncology[J]. Obstet Gynecol Sci, 2020, 31(1): e31.
- [7] Jiang C, Du YN, Yang W, et al. Correlation between high-risk HPV infection and pathological features of cervical cancer and Th17/Treg immune response[J]. Chinese Journal of Clinical Oncology and Rehabilitation, 2018, 25(12): 1488-1491. [江策, 杜亚妮, 杨维, 等. 高危型 HPV 感染与宫颈癌患者病理特征和 Th17/Treg 免疫应答的相关性研究[J]. 中国肿瘤临床与康复, 2018, 25(12): 1488-1491.]
- [8] Ganju A, Khan S, Hafeez BB, et al. miRNA nanotherapeutics for cancer[J]. Drug Discov Today, 2017, 22(2): 424-432.
- [9] Backes C, Meese E, Keller A. Specific miRNA disease biomarkers in blood, serum and plasma: challenges and prospects[J]. Mol Diagn Ther, 2016, 20(6): 509-518.
- [10] Chu GCW, Lazare K, Sullivan F. Serum and blood based biomarkers for lung cancer screening: a systematic review [J]. BMC Cancer, 2018, 18(1): 181.
- [11] Zhu Y, Wang Y, Hirschhorn J, et al. Human papillomavirus and its testing assays, cervical cancer screening, and vaccination[J]. Adv Clin Chem, 2017, 81: 135-192.
- [12] Lu H, Gu X. MicroRNA-221 inhibits human papillomavirus 16 E1-E2 mediated DNA replication through activating SOCS1/Type I IFN signaling pathway[J]. Int J Clin Exp Pathol, 2019, 12(5): 1518-1528.
- [13] Pu Y, Zhao F, Li Y, et al. The miR-34a-5p promotes the multi-chemoresistance of osteosarcoma via repression of the AGTR1 gene[J]. BMC Cancer, 2017, 17(1): 45.
- [14] Hasakova K, Reis R, Vician M, et al. Expression of miR-34a-5p is up-regulated in human colorectal cancer and correlates with survival and clock gene PER2 expression [J]. 2019, 14(10): e0224396.
- [15] Zhu JN, Fu YH, Hu ZQ, et al. Activation of miR-34a-5p/Sirt1/p66shc pathway contributes to doxorubicin-induced cardiotoxicity[J]. Sci Rep, 2017, 7(1): 11879.
- [16] Ji Y, Wang M. The long noncoding RNA NEAT1 targets miR-34a-5p and drives nasopharyngeal carcinoma progression via Wnt/beta-Catenin signaling[J]. Yonsei Med J, 2019, 60(4): 336-345.
- [17] Xu H, Zhang Y, Qi L, et al. NFIX circular RNA promotes glioma progression by regulating miR-34a-5p via Notch signaling pathway[J]. Front Mol Neurosci, 2018, 11: 225.
- [18] Lin J, Jin X, Bu Y, et al. Efficient synthesis of RITA and its analogues: derivation of analogues with improved antiproliferative activity via modulation of p53/miR-34a pathway[J]. Org Biomol Chem, 2012, 10(48): 9734-9746.
- [19] Wang JH, Zhang L, Ma YW, et al. microRNA-34a-upregulated retinoic acid-inducible gene-i promotes apoptosis and delays cell cycle transition in cervical cancer cells[J]. DNA Cell Biol, 2016, 35(6): 267-279.